

UNIVERSITETET I OSLO

Det matematisk-naturvitenskapelige fakultet

Eksamen i:	Fys1120
Eksamensdag:	Onsdag 12. desember 2018
Tid for eksamen:	0900–1300
Oppgavesettet er på:	5 sider
Vedlegg:	Formelark
Tilatte hjelpemidler	Godkjent kalkulator
	Rottman: Matematisk formelsamling
	Øgrim og Lian: Fysiske størrelser og enheter

Kontroller at oppgavesettet er komplett før du begynner å svare på spørsmålene.

Oppgave 1: Parallele linjer

a) En ladning q befinner seg i vakuum i punktet $\vec{r}_0 = x_0\hat{x} = (x_0, 0, 0)$ på x -aksen. Hva er det elektriske feltet i punktet $\vec{r} = (x, y, z)$? Lag en tegning som illustrerer vektorene du har brukt i utregningen og retningen på feltet i punktet \vec{r} .

* * *

b) En uendelig lang linjeladning med uniform linjeladningstetthet ρ_l er plassert på x -aksen. Det er ingen andre ladninger til stede og systemet er i vakuum. Finn det elektriske feltet \vec{E} i punktet $\vec{r} = (x, y, z)$.

c) En uendelig lang linjeladning med uniform linjeladningstetthet ρ_l er i stedet plassert på en linje parallel med x -aksen gjennom $y = d$. Det er ingen andre ladninger til stede og systemet er i vakuum. Finn det elektriske feltet \vec{E} i punktet $\vec{r} = (x, y, z)$.

d) La oss nå anta at systemet består av to uendelig lange linjer som er parallelle med x -aksen. Den ene linjen går gjennom punktet $(0, 0, 0)$ og den andre går gjennom $(0, d, 0)$. Begge linjene har uniforme linjeladningstettheter ρ_l . Vis at det elektriske feltet $\vec{E}(\vec{r})$ i xy -planet er:

$$\vec{E} = \frac{\rho_l}{2\pi\epsilon_0} \left(\frac{1}{y} + \frac{1}{y-d} \right) \hat{y}. \quad (1)$$

Vi ser nå på et system som består av en linje langs x -aksen og gjennom origo med en linjeladningstetthet ρ_l som ikke er uniform, men varierer med x :

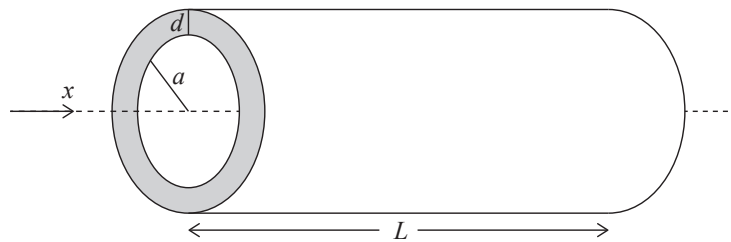
$$\rho_l(x) = \begin{cases} 0 & x < 0 \\ \rho_l(x) & 0 \leq x \leq L \\ 0 & x > L \end{cases} . \quad (2)$$

e) Finn et uttrykk på integral-form for det elektriske feltet $\vec{E}(\vec{r})$ i punktet $\vec{r} = (x, y, z)$ fra linjeladningstettheten $\rho_l(x)$ på x -aksen. (Du skal ikke løse dette integralet).

f) Anta at du kan tilnærme integralet med en sum over N elementer med bredde $dx_i = L/N$ i posisjonene $x_i = (i + 1/2)dx_i$ for $i = 0, 1, \dots, N - 1$. Hvert element bidrar med en punktladning $dq_i = \rho_l(x_i)dx_i$. Skriv et kort program som finner en tilnærmet verdi for det elektriske feltet $\vec{E}(\vec{r})$ i punktet \vec{r} ved å summere feltene fra punktladningene dq_i .

Oppgave 2: Sylindrisk komponent

Vi skal i denne oppgaven studere oppførselen til en sylindrerformet nervecelle som illustrert i figuren. Vi modellerer en del av cellen som et sylinderskall. Sylinderskallet har lengde L . Den indre radiusen er a . Tykkelsen på sylinderskallet er d . Du kan anta at L er mye større enn a og d slik at systemet har sylindersymmetri.



Først ønsker vi å finne **kapasitansen** til sylinderskallet. Vi antar da at området innenfor og utenfor sylinderskallet er ideelle ledere. Sylinderskallet er et dielektrisk materiale med dielektrisk konstant ϵ .

a) Anta at det er en ladning Q på den indre overflaten av sylinderskallet og en ladning $-Q$ på den ytre overflaten av sylinderskallet. Finn det elektriske feltet alle steder i rommet.

b) Finn skalarpotensialet $V(r)$ som funksjon av avstanden r til sylinderskallets akse.

c) Vis at kapasitansen til sylinderskallet er

$$C = \frac{2\pi\epsilon L}{\ln\left(1 + \frac{d}{a}\right)}. \quad (3)$$

Så ønsker vi å finne **resistansen** til sylinderskallet. Sylinderskallet er en leder med konduktivitet σ .

d) Finn strømtettheten \vec{J} i sylinderskallet når det går en strøm I gjennom sylinderskallet fra den indre til den ytre overflaten.

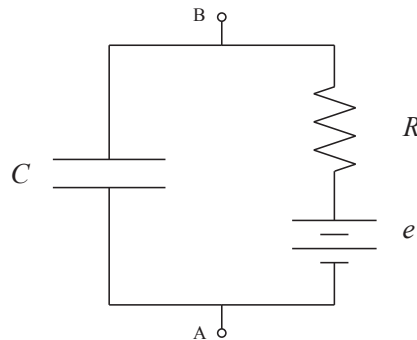
e) Finn det elektriske feltet \vec{E} i sylinderskallet i dette tilfellet.

f) Finn skalarpotensialet $V(r)$ i sylinderskallet og bruk dette til å vise at resistansen til sylinderskallet er

$$R = \frac{\ln\left(1 + \frac{d}{a}\right)}{2\pi\sigma L}. \quad (4)$$

Oppgave 3: Krets-modell for en celle

Vi skal studere en krets som en modell for en cellemembran. Kretsen består av en kondensator C , en motstand R og et batteri med emf e koblet sammen som illustrert i figuren. Vi måler potensialforskjellen mellom punkt A og B, V_{AB} .



a) Ved tiden $t = 0$ er kondensatoren uten ladning. Hva er strømmen I_R gjennom motstanden ved $t = 0$?

b) Hva er ladningen, Q_∞ , på kondensatoren når $t \rightarrow \infty$?

c) Vis at likningen som beskriver ladningen, Q , på kondensatoren kan skrives som

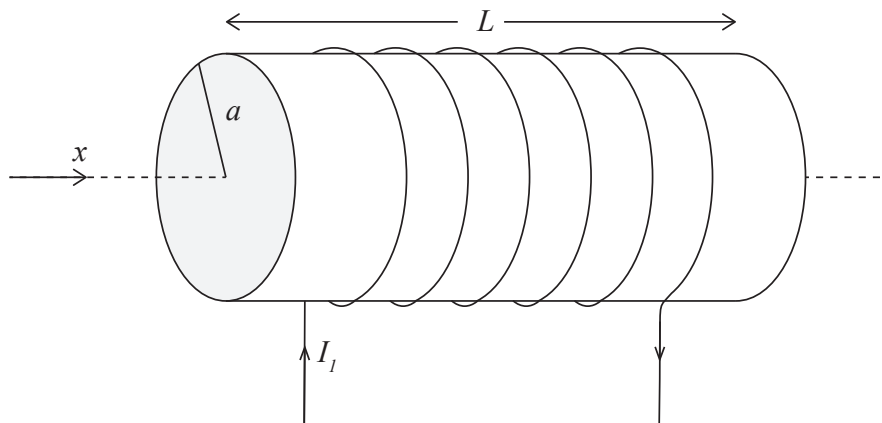
$$\frac{dQ}{dt} = \frac{1}{\tau} (Q_{\infty} - Q) , \quad (5)$$

hvor $\tau = RC$.

d) Skriv et program som finner spenningen $V_{AB}(t)$ som funksjon av tiden for dette systemet.

Oppgave 4: Dobbeltpole

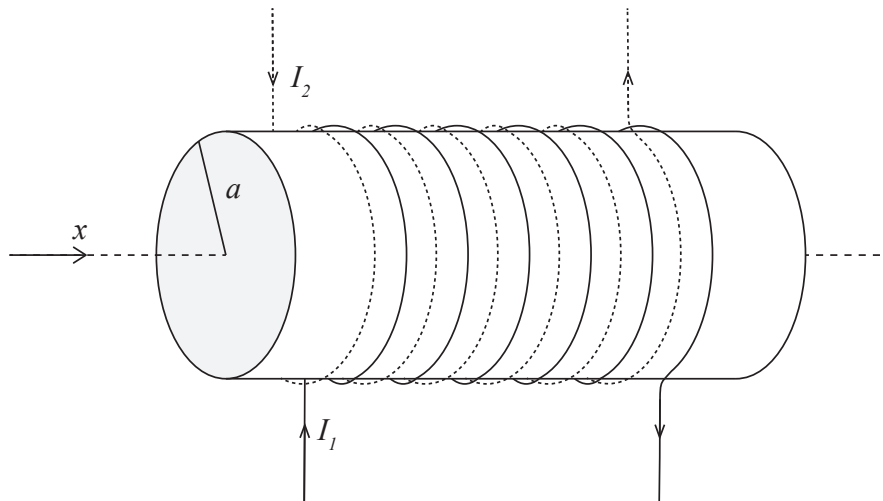
Vi skal i denne oppgaven studere en solenoide som vist i figuren. Solenoiden består en ledning som er viklet N ganger om en sylinder med radius a og lengde L hvor $L \gg a$. Inne i sylinderen er det et magnetisk materiale med permeabilitet μ .



a) Finn \vec{H} -feltet, \vec{B} -feltet og magnetiseringen \vec{M} inne i solenoiden når det går en strøm I gjennom ledningen. Du kan anta at \vec{H} -feltet er null utenfor solenoiden og at \vec{H} -feltet kun har en komponent i x -retningen inne i spolen.

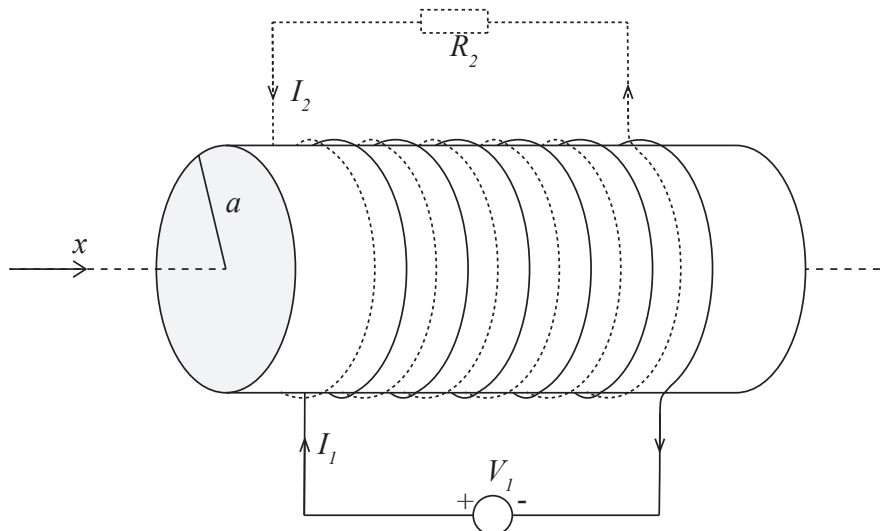
b) Finn selvinduktansen L_{11} for spolen.

Vi vikler nå en ny ledning rundt den samme spolen med M antall viklinger som illustrert med stiplet linje i figuren under. Merk at indikert positiv strømretning rundt spolen for strøm I_2 er motsatt av positiv strømretning for I_1 . Du kan anta at a og L er de samme, at ledningene er isolerte slik at de ikke er i kontakt og at begge ledningene dekker det samme området på sylinderen.



c) Hva er den gjensidige induktansen L_{12} mellom disse to spolene?

d) Vi kobler spole 1 til en tidsvarierende spenningskilde med emf $V_1(t)$ og spole 2 til en motstand R_2 . Finn et sett med likninger for strømmene I_1 og I_2 i spole 1 og spole 2. (Du skal ikke løse disse likningene).



Formler i elektromagnetisme:

$$\mathbf{F} = \frac{Qq}{4\pi\epsilon R^2} \hat{\mathbf{R}}, \quad \mathbf{E} = \mathbf{F}/q, \quad V_P = \int_P^{\text{ref}} \mathbf{E} \cdot d\mathbf{l}, \quad V = \frac{Q}{4\pi\epsilon R}, \quad \mathbf{E} = -\nabla V,$$

$$\oint_S \mathbf{D} \cdot d\mathbf{S} = Q_{\text{fri i } S}, \quad \nabla \cdot \mathbf{D} = \rho, \quad \mathbf{D} = \epsilon_0 \mathbf{E} + \mathbf{P}, \quad \mathbf{P} = \epsilon_0 \chi_e \mathbf{E}, \quad \mathbf{D} = \epsilon \mathbf{E},$$

$$\epsilon = \epsilon_0(1 + \chi_e), \quad C = Q/V, \quad C = \epsilon S/d, \quad W_e = \frac{1}{2} CV^2, \quad w_e = \frac{1}{2} \mathbf{D} \cdot \mathbf{E},$$

$$\mathbf{p} = Q\mathbf{d}, \quad \mathbf{J} = NQ\mathbf{v}, \quad \mathbf{J} = \sigma \mathbf{E}, \quad P_J = \int_v \mathbf{J} \cdot \mathbf{E} dv,$$

$$d\mathbf{B} = \frac{\mu_0}{4\pi} \frac{I d\mathbf{l} \times \hat{\mathbf{R}}}{R^2}, \quad d\mathbf{F} = I d\mathbf{l} \times \mathbf{B}, \quad \mathbf{F} = Q(\mathbf{E} + \mathbf{v} \times \mathbf{B}), \quad \mathbf{T} = \mathbf{m} \times \mathbf{B},$$

$$\mathbf{m} = I\mathbf{S}, \quad \mathbf{H} = \frac{\mathbf{B}}{\mu_0} - \mathbf{M}, \quad \mathbf{M} = \chi_m \mathbf{H}, \quad \mathbf{B} = \mu \mathbf{H}, \quad \mu = \mu_0(1 + \chi_m),$$

$$\nabla \cdot \mathbf{B} = 0, \quad \oint_C \mathbf{H} \cdot d\mathbf{l} = \int_S \mathbf{J} \cdot d\mathbf{S}, \quad w_m = \frac{1}{2} \mathbf{B} \cdot \mathbf{H},$$

$$L_{12} = \frac{\Phi_{12}}{I_1} = L_{21} = \frac{\Phi_{21}}{I_2}, \quad L = \frac{\Phi}{I}, \quad W_m = \frac{1}{2} \sum_{k=1}^n I_k \Phi_k = \frac{1}{2} \sum_{j=1}^n \sum_{k=1}^n L_{jk} I_j I_k,$$

$$\mathbf{F} = -(\nabla W_m)_{\text{uten kilder eller tap}}, \quad \mathbf{F} = +(\nabla W_m)_{I=\text{konst}}, \quad \nabla \cdot \mathbf{J} + \frac{\partial \rho}{\partial t} = 0.$$

Kretser:

$$\sum_i V_i = 0, \quad \sum_i I_i = 0, \quad V = RI, \quad I = C \frac{dV}{dt}, \quad V = L \frac{dI}{dt}, \quad P = VI,$$

$$V = \text{Re}\{\hat{V} \exp(i\omega t)\}, \quad \hat{Z} = R, \quad \hat{Z} = \frac{1}{i\omega C}, \quad \hat{Z} = i\omega L.$$

Maxwells likninger:

$$\nabla \times \mathbf{E} = -\frac{\partial \mathbf{B}}{\partial t}, \quad \oint_C \mathbf{E} \cdot d\mathbf{l} = -\int_S \frac{\partial \mathbf{B}}{\partial t} \cdot d\mathbf{S}, \quad e = -\frac{d\Phi}{dt},$$

$$\nabla \times \mathbf{H} = \mathbf{J} + \frac{\partial \mathbf{D}}{\partial t}, \quad \oint_C \mathbf{H} \cdot d\mathbf{l} = \int_S \left(\mathbf{J} + \frac{\partial \mathbf{D}}{\partial t} \right) \cdot d\mathbf{S},$$

$$\nabla \cdot \mathbf{D} = \rho, \quad \oint_S \mathbf{D} \cdot d\mathbf{S} = Q_{\text{fri i } S},$$

$$\nabla \cdot \mathbf{B} = 0, \quad \oint_S \mathbf{B} \cdot d\mathbf{S} = 0.$$

Potensialer i elektrodynamikken:

$$\mathbf{B} = \nabla \times \mathbf{A}, \quad \mathbf{E} = -\nabla V - \frac{\partial \mathbf{A}}{\partial t}, \quad \nabla^2 V - \epsilon\mu \frac{\partial^2 V}{\partial t^2} = -\frac{\rho}{\epsilon}, \quad \nabla^2 \mathbf{A} - \epsilon\mu \frac{\partial^2 \mathbf{A}}{\partial t^2} = -\mu \mathbf{J},$$

$$V(\mathbf{r}, t) = \frac{1}{4\pi\epsilon} \int_v \frac{\rho(\mathbf{r}', t - R/c) dv'}{R}, \quad \mathbf{A}(\mathbf{r}, t) = \frac{\mu}{4\pi} \int_v \frac{\mathbf{J}(\mathbf{r}', t - R/c) dv'}{R}.$$

Grensebetingelser:

$$\mathbf{E}_{1t} = \mathbf{E}_{2t}, \quad \mathbf{D}_{1n} - \mathbf{D}_{2n} = \rho_s \hat{\mathbf{n}}, \quad \mathbf{H}_{1t} - \mathbf{H}_{2t} = \mathbf{J}_s \times \hat{\mathbf{n}}, \quad \mathbf{B}_{1n} = \mathbf{B}_{2n}.$$

Konstanter:

$$\mu_0 = 4\pi \cdot 10^{-7} \text{ H/m}$$

$$\epsilon_0 = 1/(\mu_0 c_0^2) \approx 8.854 \cdot 10^{-12} \text{ F/m}$$

$$\text{Lyshastighet i vakuum: } c_0 = 1/\sqrt{\mu_0 \epsilon_0} = 299792458 \text{ m/s} \approx 3.0 \cdot 10^8 \text{ m/s}$$

$$\text{Lyshastighet i et medium: } c = 1/\sqrt{\mu \epsilon}$$

$$\text{Elementærladningen: } e = 1.6 \cdot 10^{-19} \text{ C}$$

$$\text{Elektronets hvilemasse: } m_e = 9.11 \cdot 10^{-31} \text{ kg}$$

$$\text{Standard tyngdeakselerasjon: } g = 9.80665 \text{ m/s}^2$$

$$\text{Gravitasjonskonstant: } \gamma = 6.673 \cdot 10^{-11} \text{ N} \cdot \text{m}^2/\text{kg}^2.$$

Differensielle vektoridentiteter:

$$\begin{aligned} \hat{\mathbf{x}} \cdot \nabla V &= \frac{\partial V}{\partial x} \quad (x \text{ vilkårlig akse}) \\ \nabla(V+W) &= \nabla V + \nabla W \\ \nabla(VW) &= V\nabla W + W\nabla V \\ \nabla f(V) &= f'(V)\nabla V \\ \nabla(\mathbf{A} \cdot \mathbf{B}) &= (\mathbf{A} \cdot \nabla)\mathbf{B} + (\mathbf{B} \cdot \nabla)\mathbf{A} \\ &\quad + \mathbf{A} \times (\nabla \times \mathbf{B}) + \mathbf{B} \times (\nabla \times \mathbf{A}) \\ \nabla \cdot (\mathbf{A} + \mathbf{B}) &= \nabla \cdot \mathbf{A} + \nabla \cdot \mathbf{B} \\ \nabla \cdot (V\mathbf{A}) &= V\nabla \cdot \mathbf{A} + \mathbf{A} \cdot \nabla V \\ \nabla \cdot (\mathbf{A} \times \mathbf{B}) &= \mathbf{B} \cdot \nabla \times \mathbf{A} - \mathbf{A} \cdot \nabla \times \mathbf{B} \\ \nabla \times (\mathbf{A} + \mathbf{B}) &= \nabla \times \mathbf{A} + \nabla \times \mathbf{B} \\ \nabla \times (V\mathbf{A}) &= (\nabla V) \times \mathbf{A} + V\nabla \times \mathbf{A} \\ \nabla \cdot (\nabla \times \mathbf{A}) &= 0 \\ \nabla \cdot (\nabla V) &= \nabla^2 V \\ \nabla \times (\nabla V) &= 0 \\ \nabla \times (\nabla \times \mathbf{A}) &= \nabla(\nabla \cdot \mathbf{A}) - \nabla^2 \mathbf{A} \end{aligned}$$

Integralidentiteter:

$$\begin{aligned} \int_v \nabla V dv &= \oint_S V d\mathbf{S} \\ \int_v \nabla \cdot \mathbf{A} dv &= \oint_S \mathbf{A} \cdot d\mathbf{S} \quad (\text{Divergensteoremet}) \\ \int_v \nabla \times \mathbf{A} dv &= \oint_S d\mathbf{S} \times \mathbf{A} \\ \int_S \nabla \times \mathbf{A} \cdot d\mathbf{S} &= \oint_C \mathbf{A} \cdot d\mathbf{l} \quad (\text{Stokes' teorem}) \end{aligned}$$

Kartesisk koordinatsystem:

$$\begin{aligned} \nabla V &= \frac{\partial V}{\partial x} \hat{\mathbf{x}} + \frac{\partial V}{\partial y} \hat{\mathbf{y}} + \frac{\partial V}{\partial z} \hat{\mathbf{z}} \\ \nabla \cdot \mathbf{A} &= \frac{\partial A_x}{\partial x} + \frac{\partial A_y}{\partial y} + \frac{\partial A_z}{\partial z} \\ \nabla \times \mathbf{A} &= \hat{\mathbf{x}} \left(\frac{\partial A_z}{\partial y} - \frac{\partial A_y}{\partial z} \right) \\ &\quad + \hat{\mathbf{y}} \left(\frac{\partial A_x}{\partial z} - \frac{\partial A_z}{\partial x} \right) + \hat{\mathbf{z}} \left(\frac{\partial A_y}{\partial x} - \frac{\partial A_x}{\partial y} \right) \\ \nabla^2 V &= \frac{\partial^2 V}{\partial x^2} + \frac{\partial^2 V}{\partial y^2} + \frac{\partial^2 V}{\partial z^2} \\ \nabla^2 \mathbf{A} &= (\nabla^2 A_x) \hat{\mathbf{x}} + (\nabla^2 A_y) \hat{\mathbf{y}} + (\nabla^2 A_z) \hat{\mathbf{z}} \end{aligned}$$

Sylindrisk koordinatsystem:

$$\begin{aligned} \nabla V &= \frac{\partial V}{\partial r} \hat{\mathbf{r}} + \frac{1}{r} \frac{\partial V}{\partial \phi} \hat{\phi} + \frac{\partial V}{\partial z} \hat{\mathbf{z}} \\ \nabla \cdot \mathbf{A} &= \frac{1}{r} \frac{\partial(rA_r)}{\partial r} + \frac{1}{r} \frac{\partial A_\phi}{\partial \phi} + \frac{\partial A_z}{\partial z} \\ \nabla \times \mathbf{A} &= \hat{\mathbf{r}} \left(\frac{1}{r} \frac{\partial A_z}{\partial \phi} - \frac{\partial A_\phi}{\partial z} \right) \\ &\quad + \hat{\phi} \left(\frac{\partial A_r}{\partial z} - \frac{\partial A_z}{\partial r} \right) + \hat{\mathbf{z}} \left(\frac{\partial(rA_\phi)}{\partial r} - \frac{\partial A_r}{\partial \phi} \right) \\ \nabla^2 V &= \frac{1}{r} \frac{\partial}{\partial r} \left(r \frac{\partial V}{\partial r} \right) + \frac{1}{r^2} \frac{\partial^2 V}{\partial \phi^2} + \frac{\partial^2 V}{\partial z^2} \end{aligned}$$

Sfærisk koordinatsystem:

$$\begin{aligned} \nabla V &= \frac{\partial V}{\partial r} \hat{\mathbf{r}} + \frac{1}{r} \frac{\partial V}{\partial \theta} \hat{\theta} + \frac{1}{r \sin \theta} \frac{\partial V}{\partial \phi} \hat{\phi} \\ \nabla \cdot \mathbf{A} &= \frac{1}{r^2} \frac{\partial(r^2 A_r)}{\partial r} \\ &\quad + \frac{1}{r \sin \theta} \frac{\partial(\sin \theta A_\theta)}{\partial \theta} + \frac{1}{r \sin \theta} \frac{\partial A_\phi}{\partial \phi} \\ \nabla \times \mathbf{A} &= \frac{\hat{\mathbf{r}}}{r \sin \theta} \left(\frac{\partial(\sin \theta A_\phi)}{\partial \theta} - \frac{\partial A_\theta}{\partial \phi} \right) \\ &\quad + \frac{\hat{\theta}}{r} \left(\frac{1}{\sin \theta} \frac{\partial A_r}{\partial \phi} - \frac{\partial(rA_\phi)}{\partial r} \right) \\ &\quad + \frac{\hat{\phi}}{r} \left(\frac{\partial(rA_\theta)}{\partial r} - \frac{\partial A_r}{\partial \theta} \right) \\ \nabla^2 V &= \frac{1}{r^2} \frac{\partial}{\partial r} \left(r^2 \frac{\partial V}{\partial r} \right) \\ &\quad + \frac{1}{r^2 \sin \theta} \frac{\partial}{\partial \theta} \left(\sin \theta \frac{\partial V}{\partial \theta} \right) \\ &\quad + \frac{1}{r^2 \sin^2 \theta} \frac{\partial^2 V}{\partial \phi^2} \end{aligned}$$